

ذوب بخشی سنگهای رسی - نیمه رسی در هاله دگرگونی کلیبر - شمال باختری ایران

نوشته: محسن مؤذن* و رباب حاجی علی اوغلی*

* گروه زمین شناسی، دانشکده علوم طبیعی، دانشگاه تبریز، ایران

Partial Melting of Pelites and Semi-Pelites in the Kalaybar Thermal Aureole, NW Iran

By: M. Moazzen* & R. Hajialioghli*

*Department of Geology, Faculty of Natural Sciences, Tabriz University, Iran.

تاریخ پذیرش: ۱۳۸۵/۰۶/۰۸ تاریخ دریافت: ۱۳۸۳/۰۹/۲۰

چکیده

نفوذ نفلین سینیت و نفلین گابروی کلیبر به سن اثوسن - الیگوسن در سنگهای رسی و آهکی کرتاسه باعث تشکیل هاله گرمایی به ستبرای بیش از ۱ کیلومتر در اطراف آن شده است. دگرگون شدن سنگهای رسی و آهکی در حاشیه شمالی و خاوری هاله و سنگهای مافیک در حاشیه جنوبی هاله، باعث تشکیل انواع هورنفلسها دگرگونی در منطقه شده است. پدیده میگماتیتی شدن و ذوب بخشی در درجه دگرگونیهای بالا و نزدیک همبrij به علت گرمای حاصل از توده در سنگهای با ترکیب شیمیایی مناسب، دیده می شوند. مقیاس ذوب بخشی بسیار کوچک و حجم ماقمای آناتکسی تشکیل شده کم است. بخشها روشن (لوکوسومها) به صورت رگهای و قطرهای در مقیاس میلی متری مشاهده می شود. کانیهای اصلی در بخش روشن رنگ میگماتیتها شامل کوارتز و فلدسپار پتاسم با بافت آذربین، بویژه فلدسپارهای پتاسم شکل دار تا نیمه شکل دار، بافت گرانوفیری و بافت بین بلوری (interstitial) در کانیهای کوارتز است. تفاوت‌های بافتی بین بخش روشن و تیره (لوکوسوم و مزوسم)، ترکیب کانی شناسی لوکوسوم، ساخت آذربین در بخش لوکوسوم و محدود بودن تشکیل لوکوسوم به سنگهای رسی، همگی شواهدی از رخداد پدیده آناتکسی در هاله کلیبر است. واکنشهای مؤثر در تشکیل مذاب و بخش روشن میگماتیت شامل واکنشهای ذوب در حضور فاز سیال آزاد (fluid-absent) و واکنشهای در نبود فاز سیال آزاد (fluid-present) می باشد. مجموعه کانیهای دگرگونی درجه بالا (مانند مجموعه های دارای ارتوپیر و کسن) احتمالاً در اثر از بین رفتن کانیهای آبدار (مانند بیوتیت) توسط واکنشهای بدون حضور سیال آزاد تشکیل شده اند. ترکیب کانی شناسی لوکوسومها مشابه لوکوگرانیت تا گرانیت حاصل از ذوب بخشی است و با منشأ تبلور از مذاب مطابقت دارد.

کلید واژه‌ها: کلیبر، هاله دگرگونی، سنگهای رسی، ذوب بخشی، میگماتیت.

Abstract

Intrusion of the Kalaybar nepheline syenite and nepheline gabbro into the Cretaceous pelitic and calcareous rocks during Eocene-Oligocene has caused the development of a thermal aureole up to 1 km thick. The contact between igneous and country rocks is sharp. The protholite rocks in the study area had not been metamorphosed prior to contact metamorphism. Pelitic and calcareous rocks in the northern and eastern parts of the aureole and basic rocks in the southern part of the aureole were thermally metamorphosed and formed different types of hornfelses. High-grade metamorphic rocks with chemically suitable compositions were melted adjacent to the contact (within 100m from the contact) due to the heat from the pluton. Migmatites with small-scale leucosomes are produced. Scale of partial melting and volume of produced melt are very small. Main minerals in the light coloured parts of the migmatites (leucosomes) include quartz and K-feldspar with an igneous texture specially euhedral to subhedral

texture of K-feldspar, graphic texture of quartz-K-feldspar and interstitial texture of quartz. Textural differences between light leucosomes and dark mesosomes, mineralogical composition of the leucosomes, existence of igneous textures within the leucosomes and restriction of the leucosome formation to the pelitic rocks all are distinct evidence for occurrence of partial melting in the Kalaybar aureole. The liable reactions for melting include fluid-present reactions and fluid-absent reactions. High-grade metamorphic assemblages such as orthopyroxene-bearing assemblages have been accomplished by dehydration of hydrous minerals such as biotite via fluid-absent melting reactions. Mineralogical compositions of leucosomes resemble leucogranites to granites. This indicates crystallisation of the leucosomes from a silicate melt.

Keywords: Kalaybar, Thermal aureole, Pelitic rocks, Partial melting, Migmatites.

مقد ۴۰

آناتکسی به ترکیب شیمیایی سنگهای دگرگون شونده بسیار وابسته است و در دگرگونیهای درجه بالای سنگهای کوارتز - فلدسپاتی و رسی - نیمه رسی (یا در حالت کلی، سنگهای غنی از کانیهای کوارتز و فلدسپار با دماهای ذوب پایین) رخ می‌دهد. ژرفای جایگیری توده نفوذی در حجم مذاب حاصل از آناتکسی مؤثر است. میگماتیتهای بزرگ مقیاس و ماکروسکوپی اغلب در جایگیری کم ژرفای توده‌ها و میگماتیتهای کوچک مقیاس و میکروسکوپی در جایگیریهای ژرف توده‌ها تشکیل می‌شوند. مقیاس میگماتیتهای تشکیل شده همچنین به ترکیب شیمیایی توده نفوذی، حجم توده نفوذی، شکستگی سنگها و مقدار حضور سیال در طی فرایند آناتکسی نیز بستگی دارد (Kerrick, 1991). حضور سیال، بویژه آب، در فرایند آناتکسی نقش مهمی دارد و نبود آن یکی از دلایل ذوب نشدن سنگهای با ترکیب شیمیایی مناسب در دماهای بالاست (Tuttle and Bowen, 1958).

در نوشتار حاضر، پدیده ذوب بخشی در هاله دگرگونی همبری کلیر در شمال باختری ایران مورد بررسی قرار گرفته است. عمدۀ مطالب مورد بحث شامل ویژگیهای لوکوسومها، شواهد ذوب بخشی و واکنشهای احتمالی ذوب است.

زمین‌شناسی منطقه مورد مطالعه

براساس تقسیم‌بندی نبوی (۱۳۵۵)، منطقه کلیر در زون البرز باختری- آذربایجان واقع شده است. قدیمی‌ترین سنگهای منطقه مورد مطالعه سنگهای دگرگونی ناحیه‌ای پیش از کرتاسه با ترکیب سنگ‌شناسی فیلیت و کلریت شیست است. سنگهای رسی و آهکی کرتاسه همراه با سنگهای مافیک در حاشیه خاوری و شمالی هاله بروزند دارند و رسوبات کواترنر جوان‌ترین سنگهای منطقه را تشکیل می‌دهد (مهر پرتو، ۱۹۹۹). فعالیتهای ماگمایی در منطقه کلیر را می‌توان بر اساس روابط زمانی از قدیم به جدید در پنج گروه اصلی تقسیم‌بندی کرد، نفوذ توده پیروکسینیت، فوران سنگهای

میگماتیتها سنگهایی هستند که از بخش‌های روشن رنگ کوارتز - فلدسپاتی و بخش‌های تیره رنگ دارای کانیهای تیره Mg_{Fe} دار تشکیل شده‌اند (Sederholm, 1967). میگماتیتها از نظر منشأ تشکیل انواع متفاوتی دارند: میگماتیتهای تزریقی که در اثر تزریق ماقمای گرانیتی در سنگهای دگرگونی تشکیل می‌شوند، میگماتیتهای متاسوماتیسمی که در نتیجه ورود عناصر قلایی در طی فرایند متاسوماتیسم تشکیل می‌شوند، میگماتیتهای تفریقی که در نتیجه تفرقی عناظر روشن و تیره سنگ در حالت جامد تشکیل می‌شوند و میگماتیتهای آناتکسی که در نتیجه ذوب بخشی سنگهای دگرگونی در دماهای بالا تشکیل می‌شوند. نتایج حاصل از مطالعات تجربی میگماتیتهای آناتکسی در ناحیه دگرگونی ناحیه‌ای، مانند واکنشهای ذوب و شرایط ترمودینامیکی ذوب، در مورد میگماتیتهای آناتکسی دگرگونی همبری نیز صدق می‌کند (Kerrick, 1991). آناتکسی در هاله‌های دگرگونی توسط تعدادی از محققان مطرح شده است. برای مثال آناتکسی هاله در اسکاتلنند (Moazzen et al., 2001 ; Moazzen, 1999) در اسکاتلنند (Harte et al., 1991)؛ هاله Ballachulish در اسکاتلنند (Pattison and Harte, 1988, 1991, 1997)؛ هاله Laramie (Grant Frost, 1990) ایالت متحده آمریکا (Morton Pass Appin and Platten, 1982, 1983) و هاله‌های دگرگونی اطراف توده‌های نفوذی در اسکاتلنند (and

آناتکسی نقش مهمی در تحولات شیمیایی و فیزیکی هاله‌های دگرگونی همبری دارد. مذاب حاصل از ذوب بخشی همه سیالهای آبدار موجود در محل ذوب را مصرف کرده و در نتیجه باعث کاهش فعالیت آب و تغییر شرایط تعادل فازی سنگ جامد باقیمانده می‌شود (Moazzen et al., 2001). از تحولات فیزیکی حاصل از آناتکسی می‌توان به تغییر شکل جریانی (rheology) سنگهای ذوب شده اشاره کرد که تأثیر زیادی در جایگیری توده دارد.

فشار هاله دگرگونی کلیبر با استفاده از نمودار سنگ‌زایی سنگهای رسی حدود 1 ± 3 Kbar محاسبه شده است (حاجی علی اوغلی، ۱۳۸۰؛ Moazzen & Haji Alioghli, 2002) . این فشار معادل با ارتفاع 3 ± 9 Km می‌باشد. بیشینه دمای دگرگونی هاله مذکور حدود $700 - 750^{\circ}\text{C}$ به دست آمده است (حاجی علی اوغلی، ۱۳۸۰؛ Haji Alioghli, 2002) . به دلیل این که گرادیان دمای دگرگونی همبrij دارای شب تند است لذا بیشینه دمای به دست آمده برای هاله مذکور اهمیت موضعی دارد در صورتی که فشار محاسبه شده برای آن اهمیت ناحیه‌ای داشته و در یک مقیاس وسیع برای سنگهای منطقه صدق می‌کند. فشار محاسبه شده Kbar^۳ برای هاله نشان می‌دهد که احتمالاً در زمان جایگیری توده سبترای پوسته قاره‌ای حدود ۹ Km بوده است. با توجه به این که محاسبه فشار از قسمتهای مختلف توده (به علت عدم وجود پارائزتر مناسب) در دست نیست، لذا نمی‌توان احتمال کج شدگی (tilting) توده در هنگام نفوذ را بررسی کرد. مطالعه کالک-سیلیکاتها در هاله کلیبر نشان می‌دهد که مجموعه کانی این سنگها فاقد گرافیت و دیگر کانیهای کلردار و فلوئوردار است. لذا احتمالاً ترکیب سیالها در طی فرایندهای دگرگونی $\text{H}_2\text{O}-\text{CO}_2$ بوده است (حاجی علی اوغلی، ۱۳۸۰؛ Haji Alioghli, 2002) . با استفاده از واکنشهای تعادلی چندگانه (multiple equilibrium) Moazzen & Haji, 2002 X_{CO_2} در هاله کلیبر در حدود $0.2 / 2$ محاسبه شده است ($\text{X}_{\text{CO}_2} \sim 0.2$ Alioghli, 2002) . مشخص کردن ترکیب واقعی سیال ($\text{X}_{\text{H}_2\text{O}} \sim 0.8$) در هاله کلیبر کاربرد مهمی در مطالعه واکنشهای دگرگونی با حضور فاز سیال (fluid-present) و فرایندهای ذوب بخشی هاله دارد. لازم به ذکر است که سیستم دگرگونی همبrij در سنگهای رسی و نیمه رسی هاله دگرگونی کلیبر به صورت بسته در نظر گرفته شده است. توده نفوذی، تنها اثر گرمایی بر سنگهای هاله داشته است و سیالهای حاصل از توده اثری بر تعادل کانی‌شناسی سنگهای دگرگونی نداشته‌اند. بدین ترتیب، ترکیب سیال بحث شده در فوق تنها مربوط به سیالهای سیستم بسته سنگهای هاله می‌باشد. نه ترکیب سیالهای منتشر شده از توده. همچنین باید اضافه کرد از آنجا که ترکیب سیال محاسبه شده برای سنگهای اوج دگرگونی همبrij و نزدیک به توده می‌باشد (جایی که ذوب بخشی سنگهای دگرگونی اتفاق افتاده است) احتمال می‌رود که در نقاط دیگر هاله ترکیب سیال کمی متفاوت باشد.

آناکسی در هاله دگرگونی کلیبر

میگماتیتها کلیبر در همبrij هورنفلاسها رسی با سنگهای نفلین سینیتی و نفلین گابرویی در بخش شمالی و جنوب خاوری هاله تشکیل در مقیاس میلی‌متری تشکیل شده‌اند. سبترای هاله‌ای که متholm ذوب بخشی

آتشفسانی بازی کرتاسه، فوران سنگهای آتشفسانی تقریبی آزالسیم دار، نفوذ توده نفلین سینیت و فوران سنگهای آتشفسانی بازی کواترنری (باباخانی و همکاران، ۱۳۶۹، باباخانی، ۱۳۶۰، حاجی علی اوغلی، ۱۳۸۰؛ ضرغامی و شهبازی، ۱۳۷۲؛ Lescuyer & Riou, 1976). توده نفوذی نفلین سینیت کلیبر با وسعت 70 km^2 بزرگ‌ترین توده نفوذی فلدسپاتوییدار در شمال آذربایجان و احتمالاً ایران است. این توده از نظر ترکیب کانی‌شناسی ناهمگن بوده و از انواع سنگهای آذرین شامل نفلین سینیت، نفلین گابرو، سینیت و به طور پراکنده میکرودیوریت، دیوریت و مونزودیوریت تشکیل شده است. ترکیب بیشتر سنگها نفلین سینیتی بوده و بروند نفلین گابرو به صورت نواری با پهنهای حدود 3 km فقط در حاشیه جنوبی توده نفوذی مشاهده شده است (باباخانی و همکاران، ۱۳۶۹). با نفوذ توده نفلین سینیت در اوسن پسین - الیکوسن سنگهای رسوبی - آتشفسانی کرتاسه دگرگون شده و هاله دگرگونی با پهنهای بیش از یک کیلومتر در اطراف آن ایجاد شده است. پرتوولیت سنگهای دگرگونی همبrij، از قبل به صورت ناحیه‌ای دگرگون نشده‌اند و یا دگرگونی ناحیه‌ای بسیار ضعیفی را تحمل کرده‌اند (حاجی علی اوغلی، ۱۳۸۰). در محل همبrij نفلین سینیت با سنگهای دگرگونی رسی - نیمه رسی پدیده ذوب بخشی در مقیاس کوچک اتفاق افتاده است. مطالعات سیستماتیک سنگهای دگرگونی هاله کلیبر طی چندین پیماش در حاشیه خاوری، جنوب خاوری، شمال و شمال باختیری آن انجام شد (حاجی علی اوغلی، ۱۳۸۰). شکل ۱ توده نفوذی نفلین سینیت کلیبر و هاله دگرگونی آن را نشان می‌دهد.

شرایط دگرگونی همبrij در هاله کلیبر

همان گونه که ذکر شد، سنگهای رسی، کالک‌سیلیکات، آهکی و مافیک در هاله دگرگونی همبrij کلیبر به سبیرای تقریبی 1 کیلومتر دگرگون شده‌اند. به علت این که این سنگها به صورت متناوب قرار دارند، امکان دنبال کردن یک واحد رسی از بیرون هاله (قسمت دگرگون نشده) تا همبrij آذرین و در نتیجه امکان تعیین توالی بدون وقفه زونهای کانی‌شناسی و واکنشهای دگرگونی در هاله وجود ندارد. برای مثال در شرایط ترمودینامیکی تشکیل آندالوزیت، قبل از زون سیلیمانیت در هاله کلیبر سنگ رسی وجود ندارد و اغلب سنگها ماسه‌ای (psammitic) هستند. به علت این کنترل شیمیایی، در سنگ آندالوزیت مشاهده نمی‌شود هر چند از نظر شرایط دما و فشار امکان تشکیل آن وجود داشته است. همین امر سبب گردیده است که سنگهای رسی با درجه کمتر از زون بیوتیت-کردیریت نیز در هاله یافت نگردند (Moazzen & Haji Alioghli, 2002).



این کانیها معمولاً نسبت به کانیهای فرمینیزین بخش مزوسوم درشت تر و شکل دارتر تشکیل شده‌اند (حاجی علی اوغلی، ۱۳۸۰) که علت آن فضای بیشتر برای رشد ارتوپیروکسن آذربین در محیط ماگمای آناتکسی است. مقدار بیوتیت در سنگهای دارای ارتوپیروکسن کمتر است و یا وجود ندارد زیرا ارتوپیروکسن حاصل شکست بیوتیت است. (به قسمت واکنشهای دگرگونی مراجعه کنید).

- قسمتهای ذوب شده بافت گرانوفیری نشان می‌دهند (شکل ۲-۴). بر اساس مقایسه بافتی فوق، تشکیل لوکوسومهای هاله کلیر به تبلور از مذاب نسبت داده می‌شود که این خود با ویژگیهای بافتی بسیاری از لوکوسومهای Moazzzen, 1999; Powell & Downes, 1990; Waters & Whales, 1984 حاصل از ذوب بخشی مطابقت دارد.

ج) شواهد کانی‌شناسی ذوب بخشی

- کوارتز و فلدسپار پتاسیم، عمدۀ ترین کانیهای تشکیل دهنده لوکوسومها هستند و کانیهای فرمینیزین بیوتیت، کردیریت، ارتوپیروکسن و کانیهای تیره (اپک) یا وجود ندارند و یا بسیار کم دیده می‌شوند.

- بیوتیتهای نیمه شکل دار و به نسبت درشت به همراه کوارتز و فلدسپار پتاسیم در بخش لوکوسوم حاصل تبلور از مذاب است. بلورهای کوچک مسکوویت و کلریت در لوکوسوم احتمالاً از دگرگونی پسونده بیوتیت تشکیل شده‌اند (شکل ۲-۶).

- مطالعات سنگ‌نگاری لوکوسومها در هاله کلیر نشان می‌دهد که ترکیب سنگ‌شناسی لوکوسومها به احتمال مشابه لوکوگرانیت (هاپلوگرانیت) تا گرانیت حاصل از ذوب بخشی است و با منشأ تبلور از مذاب مطابقت دارد. مطالعات تجربی نشان داده است که ترکیب شیمیایی مذابهای حاصل از آناتکسی سنگهای رسی، معمولاً گرانیتی است

(Clemens & Wall, 1981; Clemens & Vielzeuf, 1987; Patino Douce & Johnstone, 1991; Stevens et al., 1997; Vielzeuf & Holloway, 1988).

د) شواهد توزیعی ذوب بخشی در سنگها

لوکوسومها تنها در سنگهای رسی - نیمه رسی دیده می‌شوند و در سنگهای مافیک و آهکی مجاور یافت نمی‌شوند. این مطلب احتمال تشکیل لوکوسوم را به علت نفوذ رگه‌های تأخیری در سنگها رد کرده و کنترل شیمیایی سنگ اولیه در وقوع ذوب بخشی را تأیید می‌کند و نشان می‌دهد که در هاله کلیر، تنها سنگهای رسی - نیمه رسی که دمای ذوب پایین‌تری نسبت به سنگهای

و میگماتیتی شدن گردیده، حدود ۵۰ تا ۱۰۰ متر است. بدین معنی که لوکوسومهای حاصل از ذوب تا فاصله حداقل ۱۰۰ متری هم برآ آذربین دیده می‌شوند. این میگماتیتها دارای بخش روشن به صورت رگه‌ای و قطره‌ای با کانیهای دانه درشت کوارتز و فلدسپار پتاسیم (لوکوسوم) و بخش تیره با بافت گرانوبلاستیک هورنفلسی و کانیهای تیره Fe و Mg دار (مزوسوم) هستند. لوکوسومهای هاله کلیر در اثر ذوب بخشی سنگهای رسی - نیمه رسی تشکیل شده‌اند. شواهد دال بر ذوب بخشی این سنگها به قرار زیر است.

الف) شواهد ماگروسکوپی ذوب بخشی

قسمتهای ذوب شده به شکل رگه و قطره است. این رگه‌ها و قطره‌ها به توده‌های آذربین کلیر مرتبط نبوده بلکه به صورت منقطع و منفصل تشکیل شده‌اند. این امر امکان تزریق رگه‌ها از توده‌های آذربین منطقه را رد می‌کند. رگه‌ها ترکیب گرانیتی دارند در حالی که در برونزدهای سنگهای آذربین منطقه کلیر سنگهای گرانیتی مشاهده نمی‌شوند. همچنین با توجه به ویژگیهای ساختی لوکوسومها، امکان تشکیل آنها از منشأ تفریق دگرگونی در حالت جامد منتفی می‌شود. زیرا لوکوسومها با مزوسومها به صورت متناوب و متوالی دیده نمی‌شوند.

ب) شواهد میکروسکوپی ذوب بخشی

- بافت لوکوسومها با تبلور از مذاب مطابقت دارد در صورتی که مزوسومها بافت تبلور در حالت جامد را نشان می‌دهند.

- بافت لوکوسومها آذربین دانه درشت است ولی بافت مزوسومها گرانوبلاستیک هورنفلسی دانه ریز تا دانه متوسط بوده و متمایز از بافت آذربین لوکوسومها است (شکل ۲-a).

- شکل دانه‌ها و اندازه آنها در لوکوسوم و مزوسوم متفاوت است. در لوکوسوم، فلدسپار پتاسیم شکل دار تا نیمه شکل دار بوده و گاهی حالت ابری نشان می‌دهد (شکل ۲-b). ظهور فلدسپار پتاسیم ابری که به علت دگرانی آن توسط سیالهای ماگمای آناتکسی تشکیل شده، شاهدی بر تبلور آن از منشأ مذاب است (Pattison & Harte, 1988). کوارتز بی‌شکل بوده و با بافت بین دانه‌ای (interstitial) فضای بین فلدسپارهای پتاسیم را پر کرده است. خاموشی پیوسته دانه‌های کوارتز بی‌شکل، تبلور آن از مذاب در طی مراحل نهایی تبلور را نشان می‌دهد (پس از تبلور تعداد زیادی از فلدسپارهای پتاسیم) به طوری که بلورهای کوارتز شکل حوضچه‌های مذاب را به خود گرفته‌اند.

- در لوکوسومهای دارای کانیهای فرمینیزین بیوتیت و ارتوپیروکسن (شکل ۲-c)،

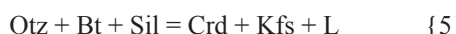
(I) زون بیوتیت - کردیریت، (II) زون آندالوزیت - فلدسپارپاتاسیم، (III) زون سیلیمانیت، (IV) زون اسپینل - کرندوم (در سنگهای فاقد کوارتز)، (V) زون مذاب و (VI) زون ارتوپیروکسن. روابط فازی کانیهای KFMASH نمونه‌های مطالعه شده از زونهای مختلف هاله کلیبر، در نمودارهای AFM و SFM شکل ۳ نشان داده شده است (حاجی علی اوغلی، ۱۳۸۰؛ Moazzen & Haji Alioghli, 2002). جدول ۳ نیز واکنشهای دگرگونی در سنگهای رسی - نیمه رسی هاله کلیبر را نشان می‌دهد (حاجی علی اوغلی، Moazzen & Haji Alioghli, 2002؛ ۱۳۸۰).

واکنشهای احتمالی ذوب در هاله کلیبر با توجه به کانی‌شناسی لوکوسومها به صورت زیراست (برای سادگی ضرایب تعداد مول هر فاز نوشته نشده است).

۱) واکنشهای ذوب با حضور سیال آزاد (fluid – present)



۲) واکنشهای ذوب بدون حضور سیال آزاد (fluid-absent)



در هاله کلیبر واکنشهای ذوب بدون حضور سیال آزاد (fluid-absent) مهم‌ترین واکنشهای ذوب در دگرگونیهای درجه بالا را تشکیل می‌دهند. مجموعه کانیهای درجه بالا در بخش لوکوسوم مانند مجموعه کانیهای دارای ارتوپیروکسن احتمالاً از شکست بیوتیت توسط واکنشهای ذوب بدون حضور سیال آزاد (fluid-absent) (واکنش ۴) تشکیل شده‌اند. حضور مجموعه کانیهای درجه بالا در سنگهای دگرگونی رسی عمدتاً با تشکیل مذاب همراه هستند (Kerrick, 1991).

ذوب بخشی در هاله کلیبر در مقیاس وسیع انجام نشده است، عوامل احتمالی محدود کننده ذوب بخشی در هاله کلیبر عبارتند از:

- کمبود آب برای ادامه واکنشهای ذوب با حضور فاز سیال آزاد (fluid-present) در زونهای فلدسپار پاتاسیم، سیلیمانیت و ارتوپیروکسن (واکنشهای ذوب ۱، ۲، ۳). در این حالت مذاب به همراه کانیهای سمت چپ واکنش (کانیهای واکشگر) در لوکوسوم مشاهده می‌شود که به گمان نشانگر تمام شدن واکشگر آب است.

- مصرف شدن تمامی سیلیمانیت توسط واکنشهای ذوب در زون سیلیمانیت

آهکی و بازی داشته‌اند، به صورت بخشی ذوب شده‌اند.

سنگنگاری لوکوسومها در هاله کلیبر

پاراژنرهای دگرگونی سنگهای رسی - نیمه رسی در هاله کلیبر عبارتند از پاراژنرهای بدون کردیریت و بیوتیت (سنگهای دگرگون نشده)، پاراژنرهای با بیوتیت و کردیریت، پاراژنرهای با سیلیمانیت، پاراژنرهای با کرندوم و اسپینل (در سنگهای فاقد کوارتز)، پاراژنرهای با ارتوپیروکسن و مجموعه کانیهای دیگر با مذاب (حاجی علی اوغلی، ۱۳۸۰؛ Moazzen & Haji Alioghli, 2002).

جدول ۱، مجموعه کانیهای دگرگونی رسی - نیمه رسی در هاله کلیبر را نشان می‌دهد. علاوه اختصاری استفاده شده برای کانیها از Kretz (1983) است. سنگهای رسی در درجه دگرگونیهای بالا و در نزدیکی همربی به علت گرمای حاصل از توده به صورت بخشی ذوب شده‌اند. بر اساس ترکیب کانی‌شناسی قسمتهای ذوب شده، لوکوسومها هاله کلیبر در سه گروه تقسیم بندی شده‌اند:

۱- لوکوسومهای دارای کوارتز + فلدسپار پاتاسیم: در این لوکوسومها فلدسپار قلیایی به صورت شکل دار تا نیمه شکل دار بوده و کوارتز نازک لایه فیلمی شکل (film) فضای بین فلدسپارهای پاتاسیم را پر کرده است. این گروه از لوکوسومها احتمالاً حاصل ذوب بخشی سنگهای سامیتی (psammitic) هستند.

۲- لوکوسومهای دارای کوارتز + فلدسپار پاتاسیم + بیوتیت ± مسکوویت: فلدسپار پاتاسیم شکل دار با بافت پر تیتی در لوکوسوم مشاهده می‌شود. فلدسپار پاتاسیم مقداری به مسکوویت دگرسان شده است. کوارتز بی‌شکل یا آمیبی شکل با بافت بین بلوری (interstitial) فواصل بین کانیهای فلدسپار پاتاسیم را پر کرده است.

۳- لوکوسومهای دارای کوارتز + فلدسپار پاتاسیم + بیوتیت + ارتوپیروکسن: در این لوکوسومها کوارتز و فلدسپار پاتاسیم بافت گرانوفیری نشان می‌دهند. ارتوپیروکسن‌های حاصل از ذوب بخشی در بخش لوکوسوم، دانه درشت‌تر از ارتوپیروکسن‌های تشکیل شده در بخش مزووسوم هستند (حاجی علی اوغلی، ۱۳۸۰).

جدول ۲ ترکیب کانی‌شناسی لوکوسومهای حاصل از آناتکسی هاله کلیبر را نشان می‌دهد.

واکنشهای ذوب در هاله کلیبر

بر اساس پاراژنرهای دگرگونی سنگهای رسی - نیمه رسی هاله کلیبر، می‌توان ۶ زون کانی‌شناسی را برای سنگهای این منطقه در نظر گرفت:

منطقه قبله به صورت ناحیه‌ای دگرگون نشده‌اند و همبری بین آنها و سنگهای آذرین مشخص است.

- سنگهای رسی با ترکیب شیمیایی مناسب در نزدیکی همبری دچار ذوب بخشی شده‌اند. مقیاس ذوب بخشی وسیع نبوده و در حد مزوسکوپی تا میکروسکوپی است. بخش روشن لوکوسومها بیشتر از کانیهای کوارتز و فلدسپار پتاسمیم تشکیل شده و دارای بافت آذرین با کانیهای فلدسپار پتاسمیم شکل دار تا نیمه شکل دار و کوارتز بی شکل در بین آنهاست. تفاوت‌های بافتی بین بخش روشن و تیره (بخش روشن بافت آذرین و بخش تیره بافت هورنفلسی دارد)، ترکیب کانی شناسی بخش روشن (به طور عمده کوارتز و فلدسپار پتاسمیم) و توزیع مذاب در سنگهای رسی با ترکیب شیمیایی مناسب (سنگهای با نقطه ذوب پایین یا سنگهای رسی و نیمه رسی) همگی منشاء آناتکسی بخش‌های روشن لوکوسومها را تأیید می‌کنند.

- واکنشهای ذوب در حضور فاز سیال آزاد احتمالاً با شروع ذوب، تمامی سیال آزاد در هاله را مصرف کرده و در نتیجه ادامه ذوب بخشی توسط واکنشهای ذوب بدون حضور فاز سیال آزاد انجام شده است. به احتمال مجموعه کانیهای درجه بالا مانند مجموعه کانیهای دارای ارتوپیروکسن در هاله در اثر از بین رفتن بیوتیت توسط واکنشهای بدون حضور فاز سیال آزاد تشکیل شده‌اند. حضور بخش‌های ذوب شده در این سنگها این نکته را تأیید می‌کند.

- لوکوسومهای هاله کلیر از لحاظ ساختی به شکل رگه‌ای و قطره‌ای هستند. لوکوسومهای رگه‌ای حاصل شکستگی مزوسومهای هورنفلسی و نفوذ مذاب در آنها در نتیجه ΔV مثبت واکنشهای ذوب بدون حضور فاز سیال آزاد می‌باشند، در صورتیکه لوکوسومهای قطره‌ای شکل در اثر واکنشهای ذوب در حضور فاز سیال آزاد و بدون افزایش حجم و در نتیجه بدون ایجاد شکستگی تشکیل شده‌اند.

تشکر و قدردانی

این تحقیق توسط دانشگاه تبریز حمایت شده است. نظرات بسیار سازنده دکتر مسیب سبزه‌ئی که متن اولیه این مقاله را مطالعه فرمودند باعث ارتقای علمی آن شد. بدین وسیله کمال تشکر خود را از ایشان ابراز می‌داریم.

(واکنشهای ذوب ۲). در این حالت در بخش لوکوسوم سیلیمانیت مشاهده نمی‌شود که احتمالاً نشان می‌دهد ادامه ذوب بخشی به علت مصرف شدن تمامی سیلیمانیت متوقف شده است.

- کمبود کوارتز برای ادامه واکنشهای ذوب در درجه دگرگونیهای خیلی بالا در زون ارتوپیروکسن (واکنش ۵). در این حالت تمامی کوارتز مصرف شده و بیوتیت مازاد بر نیاز واکنشهای ذوب بدون حضور فاز سیال آزاد به همراه ارتوپیروکسن در لوکوسوم مشاهده می‌شوند. به دلیل این که گرمای لازم برای ذوب سنگهای فاقد کوارتز بالاتر است، این امر می‌تواند عامل توقف ذوب بوده باشد.

بورسی ساخت لوکوسومها در هاله کلیر

ساخت لوکوسومهای هاله کلیر به دو صورت رگه‌ای و قطره‌ای می‌باشد که نوع آن بستگی به عوامل کترل کننده تشکیل آنها دارد. در واکنشهای ذوب بدون حضور فاز سیال آزاد، تمام فازها در سمت چپ واکنش (واکنشگرها) جامد هستند در حالی که در قسمت راست واکنش (محصولات) فازهای جامد و مذاب (ذوب نامتجانس) یا تنها فاز مذاب (ذوب متجانس) وجود دارد. به دلیل این که حجم مولی مذاب حاصل، از حجم مولی مواد جامد اولیه بیشتر است لذا ΔV (اختلاف حجم) واکنشهای ذوب بدون حضور فاز سیال آزاد مثبت است (Clemens & Droop, 1998). این امر باعث ایجاد فشار به علت ذوب شده و می‌تواند منجر به ایجاد شکستگی در سنگ و نفوذ مذاب تشکیل شده در امتداد این شکستگیها به صورت رگه شود. در چنین حالتی لوکوسومهای رگه‌ای تشکیل می‌شود. پایین بودن نفوذ پذیری هورنفلسها درجه بالا به این امر کمک می‌کند. این نوع شکستگیها مشابه شکستگی سنگهای ساخته شده در نتیجه افزایش فشار سیال آبدار در اثر نیروی فشار آب یا hydrofracturing ایجاد می‌شود (Nicolas & Jackson, 1982). در صورتی که در واکنشهای ذوب در حضور فاز سیال آزاد به علت وجود آب در بین واکنشگرها ΔV واکنش منفی است. به دلیل این که حجم مولی بخار آب بسیار زیاد است در نتیجه حجم مولی مواد سمت چپ واکنش (واکنشگرها) بیشتر از حجم مولی مواد سمت راست واکنش (مذاب) بوده و لذا چنین واکنشهایی نمی‌توانند باعث ایجاد فشار به علت ذوب شوند. بنابراین لوکوسوم نوع قطره‌ای تشکیل می‌شود.

نتیجه گیری

- توده نفوذی نفلین سینیت و نفلین گابروی کلیر عامل اصلی و منع گرمایی دگرگونی همبری و ذوب بخشی سنگهای هاله است. سنگهای دگرگونی

جدول ۱ - مجموعه کانیهای دگرگونی در سنگهای رسی - نیمه رسی هاله دگرگونی همیری کلیبر،

O=Minor Phase ، *=XRD ، L=Partial melting, X=Major phase

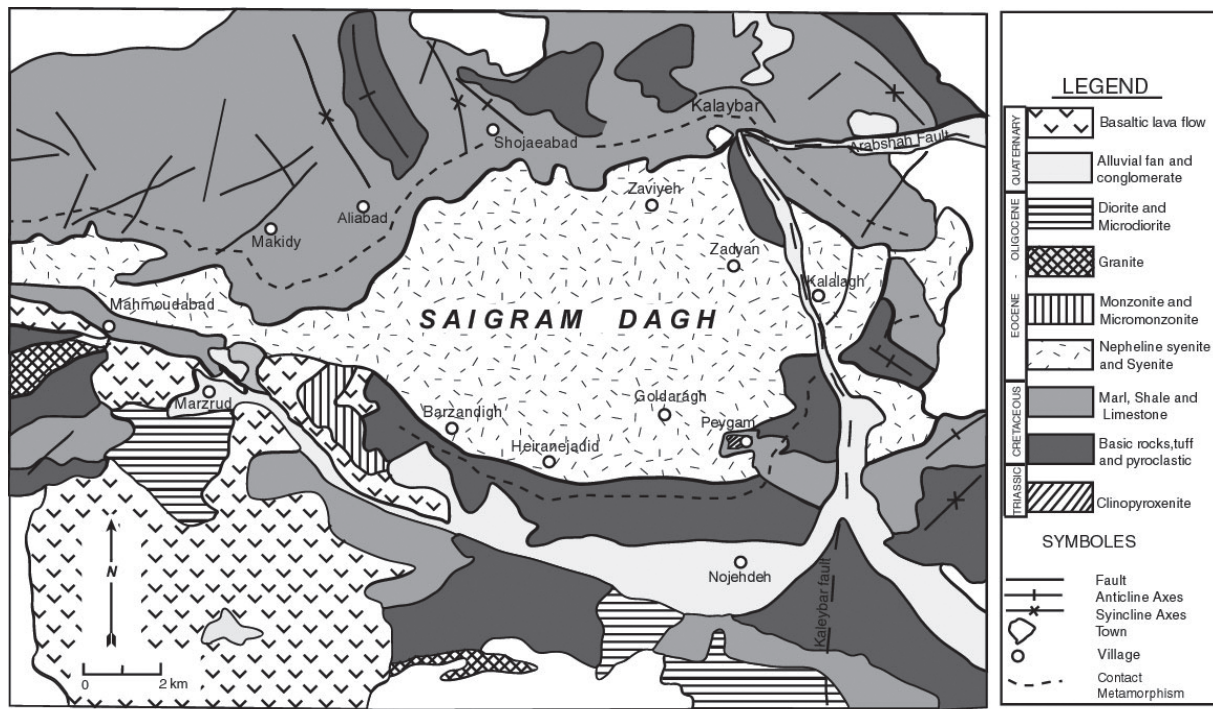
Sample No.	G.R.	Chl	Bt	Ms	Qtz	Crd	Kfs	Sil	Crn	Spl	Opx	L	Pl	Zrc	Tur	Ore	Gr	Apa
RH36	47003851	X			X								O			O	O	
RH26	47033846	X			X	X												
RH69A	46563849	X	X	X	X	X							O	O		O		
RH35	47003851		X	X	X	X								O				
RH67Ab	46563849		X	X	X	X							O		O	O	O	
RH67Bb	46563849	O	X	X	X	X							O		O	O	O	
RH44A	46573851		X	X	X	X	X						O			O	O	
RH19*	47033846		X		X	X	X						O	O	O	O	O	O
RH65C*	46563849		X		X	X?	X											
RH20B	47033846		X		X	X?	X							O	O			
RH34	47003851		X		X	X	X						O	O		O		
RH18B	47033846		X		X	X	X					L	O	O	O	O	O	
RH29*	46583851		X		X	X	X	X?					O			O	O	
RH31A	46593851		X		X	X	X	X					O	O	O	O	O	O
RH31B	46593851		X		X	X	X	X					O	O	O	O	O	O
RH32	46593851		X		X	X	X	X				L	O	O	O	O	O	O
RH41*	46573851		X			X	X			X	X		O	O		O	O	O
RH22B	47033846				X	X	X					X?	L		O	O	O	O
RH53*	46583851		X		X?	X	X					X	L		O		O	

جدول ۲ - کانی شناسی لوکوسومها در هاله دگرگونی همیری کلیبر. X کانی اصلی و O کانی فرعی.

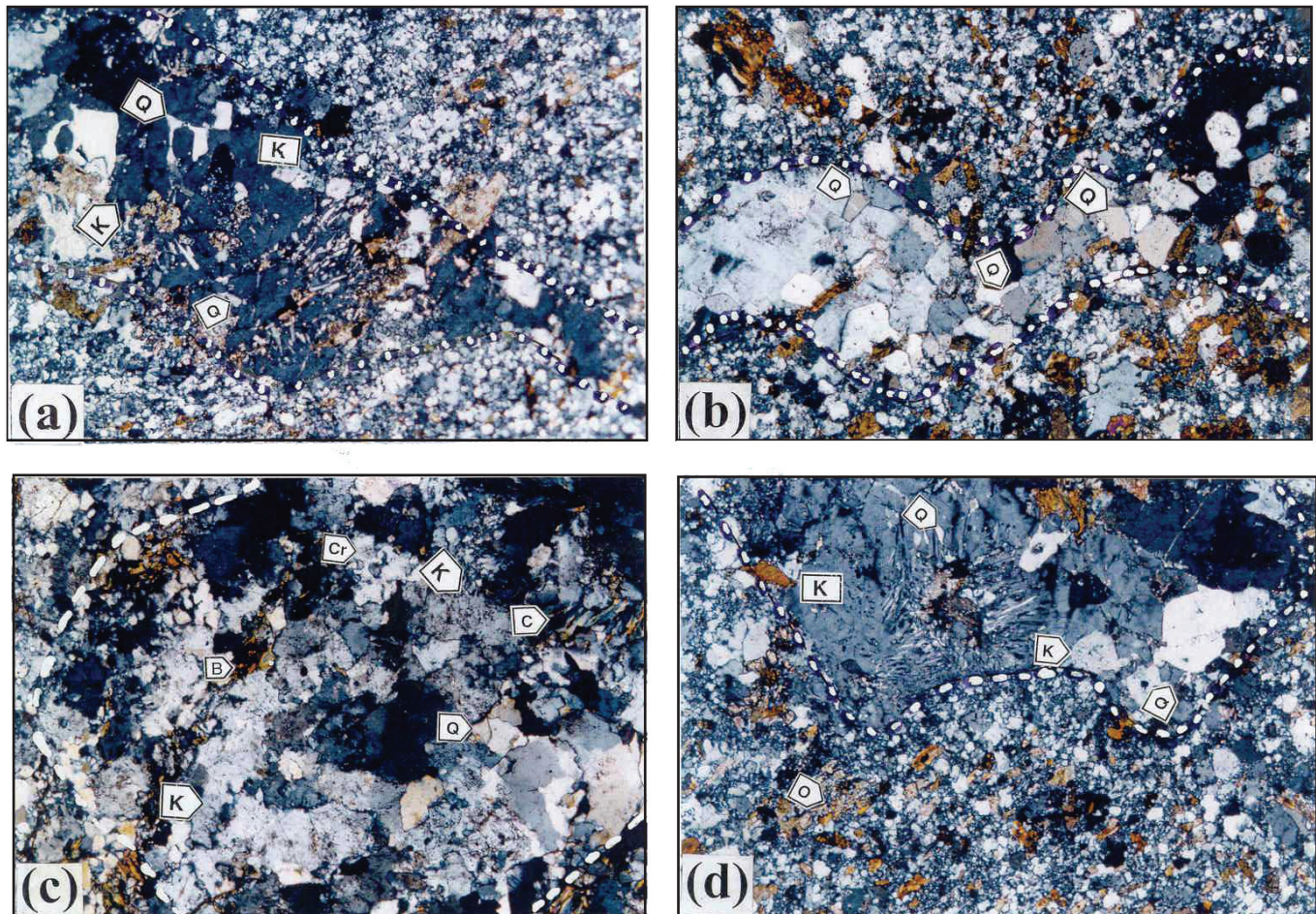
Sample No.	G.R.	Qtz	Kfs	Bt	Opx	Ab	Crd	Chl	Ms	Ore	Texture
RH18B	47033846	X	X			X		O	O	O	Interstitial-Perthitic
RH53	46583851	X	X	X	X	X	X?			O	Interstitial-granophytic
RH20	47033846	X	X								Interstitial
RH18F	47033846	X	X								Interstitial
RH22B	47033846	X	X	X				O		O	Interstitial
RH32	46593851	X	X								Interstitial

جدول ۳ - مجموعه کانیها و واکنشهای دگرگونی در سنگهای رسی - نیمه رسی دارای کوارتر و فاقد کوارتر

زون کانی شناسی	واکنشها و اسمنبلازهای دگرگونی	تیپ سنگ	
زون موسکویت	Qtz+Chl+Ms+Pl	سنگهای رسی کوارتز دار در تمامی درجات دگرگونی	
زون بیوتیت - کردیریت	Qtz+Chl+Ms+Bt+Crd Qtz+Ms+Bt+Crd		
	Ms+Chl+Qtz=Crd+Bt+H₂O		
	Qtz+Bt+Kfs+Crd		
زون فلدسپار پتاسیم	Ms+Bt+Qtz=Kfs+Crd+H₂O Qtz+Bt+Kfs+Crd+L Crd+Kfs+Qtz+Pl+H₂O=L		
	Qtz+Bt+Crd+Kfs+Sil		
زون سیلیمانیت	Ms+Qtz=Kfs+Als+H₂O Sil=And Bt+sil+Qtz=Crd+Kfs+L Qtz+Kfs+Crd+Sil+H₂O=L		
زون ارتوبیروکسن	Qtz+Crd+Kfs+Opx+L Qtz+Bt+H₂O=Opx+L Qtz+Bt=Opx+Kfs+Crd+L		(ذوب نامتجانس) (ذوب نامتجانس) (ذوب نامتجانس)
زون اسپینل - کرونودوم	Crd+Bt+Kfs+Crn+Spl Bt+Sil=Spl+Crn+Crd+Kfs+H₂O		سنگهای رسی فاقد کوارتز دگرگونی بلا



شکل ۱ - هاله دگرگونی همیری در سنگهای رسی، آهکی و مافیک منطقه کلیر.

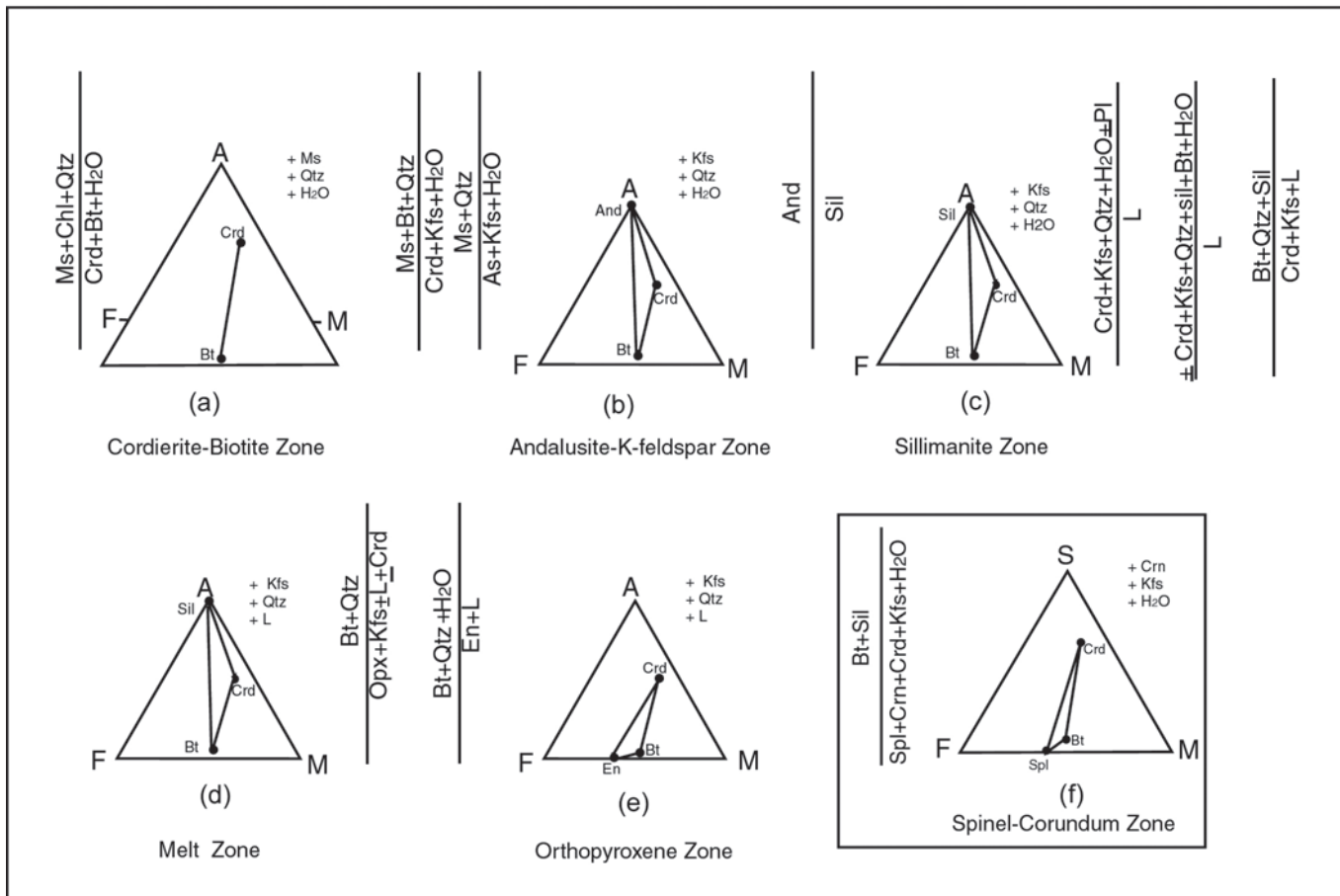


شکل ۲-۳) تفاوت بافتی بین لوکوسوم (آذرین) و مزوسم (دگرگونی). در لوکوسوم بافت گرانوفیری و بافت بین بلوری در کوارتز مشاهده می‌شود. کوارتز (Q)، فلدسپارپاتاسیم (K). نمونه RH53، حالت XPL، طول میدان دید ۵ میلی متر.

شکل ۲-۴) لوکوسوم رگه‌ای شکل با بافت آذرین و متشکل از کانیهای درشت فلدسپارپاتاسیم شکل دار تا نیمه شکلدار (K) و کوارتز ییشکل (Q). نمونه RH53، حالت XPL، طول میدان دید ۵ میلی متر.

شکل ۲-۵) لوکوسوم قطره‌ای شکل با بافت آذرین. کوارتز (Q) به صورت بی‌شکل فضای بین فلدسپارهای پاتاسیم (K) را پر کرده است. بیوتیت (B) در بخش لوکوسوم مقداری به کلریت (C) تجزیه شده است. نمونه RH18B، حالت XPL، طول میدان دید ۵ میلی متر.

شکل ۲-۶) تفاوت بافتی لوکوسوم (بافت آذرین) با مزوسم (بافت هورنفلسی). لوکوسوم دارای بافت گرانوفیری بوده و از کانیهای کوارتز (Q)، فلدسپارپاتاسیم (K) و بیوتیت (B) تشکیل شده است ولی مزوسم دارای بافت هورنفلسی بوده و از کانیهای دانه ریز کردبریت (Cr)، بیوتیت (B) و ارتوپیروکسن (O) تشکیل شده است. نمونه RH53، حالت XPL، طول میدان دید ۵ میلی متر.



شکل ۳ - روابط فازی و واکنشهای دگرگونی در سنگهای رسی - نیمه رسی هاله دگرگونی همبودی کلیبر.

کتابنگاری

- باباخانی، ع.، لسکویه، ج. ل. و ریو، ر.، ۱۳۶۹ - شرح نقشه زمین‌شناسی چهارگوش اهر، سازمان زمین‌شناسی و اکتشافات معدنی کشور ۱۲۳ صفحه.
- باباخانی، ع.، ۱۳۶۰ - پتروگرافی و ژئوشیمی نفلین سینیتها و فنولیتهای آذربایجان، پایان نامه کارشناسی ارشد، دانشگاه تهران.
- حاجی علی اوغلی، ر.، ۱۳۸۰ - بررسی دگرگونی مجاورتی سنگهای رسی و آهکی در هاله دگرگونی نفلین سینیت کلیبر و کاربرد نتایج در تفسیر تکامل پوسته منطقه مورد مطالعه، پایان نامه کارشناسی ارشد، دانشگاه تبریز، ۱۶۰ صفحه.
- ضرغامی، م. و شهبازی، ش.، ۱۳۷۲ - ورمیکولیت (پیچویی و اکتشاف در کلیبر)، پایان نامه کارشناسی، دانشگاه تبریز، ۱۴۷ صفحه.
- مهرپرتو، م.، ۱۹۹۹ - نقشه زمین‌شناسی کلیبر، سازمان زمین‌شناسی و اکتشافات معدنی کشور.
- نبوی، م. ح.، ۱۳۵۵ - دیاچهای بر زمین‌شناسی ایران، سازمان زمین‌شناسی و اکتشافات معدنی کشور، ۱۰۹ صفحه.



References

- Alcock, J. and Muller, P., 2000- Anatexis at 700 to 1000 MPa in the aureole of the Marcy anorthosite, Adirondack Highlands, New York. Contributions to Mineralogy and Petrology, 139, 43-654.
- Clemens, J. D. & Wall, V. J., 1981- Crystallisation and origin of some peraluminous (S-type) granitic magmas. Contributions to Mineralogy and Petrology, 14, 111-132.
- Clemens, J. D. & Vielzeuf, D., 1987- Constraints on melting and magma production in the crust. Earth and Planetary Science Letters, 86, 287-306.
- Clemens, J. D. & Droop, G. T. R., 1998- Fluid, P-T paths and the fates of anatetic melts in the Earth's crust. Lithos, 44, 21-36.
- Grant, J. A. and Frost, B. R., 1990- Contact metamorphism and partial melting of pelitic rocks in the aureole of the Laramie anorthosite complex, Morton Pass, Wyoming. American Journal of Science, 290, 425-427.
- Harte, B., Pattison, D. R. M. and Linklater, C. M., 1991- Field relations and petrography of partially melted pelitic and semi-pelitic rocks: Equilibrium and kinetics in contact metamorphism: The Ballachulish igneous complex and its aureole. (eds. Voll, G., Topel; Pattison, D. R. M. and Seifert, F.). Springer-Verlag: Heidelberg.
- Kerrick, D. M., 1991- Overview of contact metamorphism. In: Contact Metamorphism, Kerrick, D. M. (ed.). Reviews in Mineralogy, 26, Mineralogical Society of America.
- Kretz, R., 1983- Symbols for rock forming minerals. American Mineralogist, 68, 277-279.
- Lescuyer, J. L. & Riou, R., 1976- Geologie de la region de Mianeh (Azarbaijan). Contribution a l'étude du volcanisme tertiaire de l'Iran. These de 3eme cycle. Grenoble. 233P.
- Moazzen, M., Droop, G. T. R. & Harte, B., 2001- Abrupt transition in H_2O activity in the melt – present zone of a thermal aureole: Evidence from H_2O contents of cordierites. Geology, 29, (4), 311-314.
- Moazzen, M., 1999- Contact metamorphic Processes in the Etive aureole, Scotland Unpublished Ph. D. thesis, University of Manchester, 392 p.
- Moazzen, M. & Hajialioghli, R., 2002- Pressure, temperature and fluid composition in the Kalaybar aureole, NW Iran; Mineral equilibria in metapelitic and calc-silicate rocks. Journal of Crystallography and Mineralogy of Iran, 10, 2, 179-195.
- Nicolas, A. & Jackson, M., 1982- High temperature dikes in peridotites: Origin by hydraulic fracturing. Journal of Petrology, 23, 568-582.
- Patiño Douce, A. E. & Johnstone, A. D., 1991- Phase equilibria and melt productivity in the pelitic system: implications for the origin of peraluminous granitoids and aluminous granites. Contributions to Mineralogy and Petrology, 107, 202-218.
- Pattison, D. R. M. & Harte, B., 1988- Evolution of structurally contrasting anatetic migmatites in the 3-kbar Ballachulish aureole, Scotland. Journal of Metamorphic Geology, 6, 475-494.
- Pattison, D. R. M. & Harte, B., 1991- Petrography and mineral chemistry of pelites. In Equilibrium and kinetics in contact metamorphism: The Ballachulish Igneous Complex and its aureole. (eds. Voll, G., Topel, J., Pattison, D. R. M. and Seifert, F.). Springer-Verlag: Heidelberg.
- Platten, I. M., 1982- Partial melting of feldspathic quartzite around Late Caledonian minor intrusions in Appin, Scotland. Geological Magazine, 119, 413-419.

- Platten, I. M., 1983- Partial melting of semipelite and the development of marginal breccias around a late Caledonian minor intrusions in the Grampian Highlands of Scotland. *Geological Magazine*, 120, 37-49.
- Powell, R. & Downes, J., 1990- Garnet porphyroblasts-bearing leucosomes in metapelites: mechanisms, phase diagrams, and an example from Broken Hill, Australia. In: *High- temperature Metamorphism and Crustal Anatexis* (eds. Ashworth, J. R. & Brown, M.), pp.105-123, Unwin Hyman, UK.
- Sederholm, J. J., 1967- Selected Works: Granites and migmatites. Oliver and Boyd, Edinburgh.
- Stevens, G., Clemens, J. D. & Droop, G. T. R., 1997- Melt production during granulite-facies anatexis: experimental data from "primitive" metasedimentary protoliths. *Contributions to Mineralogy and Petrology*, 28, 352-370.
- Tuttle, O. F. & Bowen, N. L., 1958- Origin of granite in the light of experimental studies in the system $\text{NaAlSi}_3\text{O}_8$ - KAlSi_3O_8 - SiO_2 - H_2O . *Geological Society of America Memoir*, 74.
- Vielzeuf, D. & Holloway, J. R., 1988- Experimental determination of the fluid- absent melting reactions in the elitic system: consequences for crustal differentiation. *Contributions to Mineralogy and Petrology*, 98, 257-276.
- Waters, D. J. & Whales, C. J., 1984- Dehydration melting and the granulite transition in metapelites from southern Namaqualand, S. Africa. *Contributions to Mineralogy and Petrology*, 88, 269-275.